

بررسی جذب بنزن و اتیلبنزن بر روی سیلیکا ائروژل و کامپوزیت کربن-سیلیکا ائروژل

اکبر محمدی^۱، جعفر صادق مقدس^{*}

۱. مرکز تحقیقات پدیده‌های انتقال، دانشکده مهندسی شیمی، دانشگاه صنعتی سهند، تبریز، ایران

مشخصات مقاله	چکیده
تاریخچه مقاله:	سیلیکا ائروژل‌ها به دلیل داشتن سطح ویژه بالا و وجود ابعاد قابل کنترل در مقیاس نانومتری، سرعت و ظرفیت زیادی برای جذب آلاینده‌ها از خود نشان می‌دهند. در این تحقیق با استفاده از روش وزن سنجی، سینتیک جذب استاتیکی بنزن و اتیلبنزن بر روی سیلیکا ائروژل و کامپوزیت کربن فعال-سیلیکا ائروژل بررسی و نتایج با مدل نیروی حرکه خطی (LDF) تطابق داده شد. نتایج حاصل از این تحقیق نشان می‌دهد که سیلیکا ائروژل بیشترین ظرفیت جذب را در جذب سطحی بنزن ($180.0 \frac{\text{mg}}{\text{g}}$) و اتیلبنزن ($30.0 \frac{\text{mg}}{\text{g}}$) دارد. همچنین کامپوزیت $5/5\%$ wt. کربن فعال-سیلیکا ائروژل و کامپوزیت $2/2\%$ کربن فعال-سیلیکا ائروژل به ترتیب کمترین ظرفیت جذب را در جذب سطحی بنزن ($122.5 \frac{\text{mg}}{\text{g}}$) و اتیلبنزن ($20.0 \frac{\text{mg}}{\text{g}}$) نشان دادند. تحلیل آماری نتایج، حاکی از تطابق قابل قبول منحنی جذب سطحی با مدل نیروی حرکه خطی است.
دریافت: ۹۲ تیر	دریافت پس از اصلاح: ۹۲ آبان
پذیرش نهایی: ۹۳ آبان	
کلمات کلیدی:	سیلیکا ائروژل ظرفیت جذب تعادلی سینتیک جذب مدل نیروی حرکه خطی

حقوق ناشر محفوظ است.

* عهدہ دار مکاتبات
jafar.moghaddas@sut.ac.ir

۱- مقدمه

۲- تئوری تحقیق

به طور کلی برای تعیین ایزوترم جذب از ۳ روش استفاده می- شود:

روش حجمی ثابت (ساکن): در این روش، جاذب در یک مخزن غیر قابل نفوذ توسط هوا با فشار اولیه‌ی گاز درونی آن، جا داده می‌شود. وقتی که جذب اتفاق می‌افتد فشار مخزن کاهش یافته، تا زمانی که حالت تعادل برقرار می‌شود. ظرفیت جذب می‌تواند به وسیله‌ی اختلاف فشار اولیه و تعادلی بدست آید. این روش، به روش حجم ثابت یا روش حجمی نیز مشهور است [۲۱].

روش ستون دینامیکی: جاذب در ستون تست پر می- شود. با جاری شدن جریان گاز حامل (هوا، هلیم و یا نیتروژن) همراه با غلظت ثابت VOC و آنالیز جریان پایین‌دستی، منحنی شکست بدست می‌آید. ظرفیت جذب به وسیله‌ی اختلاف جرم VOC در ورودی و خروجی محاسبه می‌شود [۲۱]. روش وزن‌سنجدی: در این روش، ظرفیت جذب از تغییر وزن جاذب در طی فرآیند جذب بدست می‌آید، در این روش به ترازوی الکترونیکی با دقت بالا نیازمند است. از آنجایی که عدد نشان داده شده توسط ترازو برای کل ترکیبات است، بنابراین این روش تنها برای جذب فیزیکی تک جزئی بکار می- رود. همچنین، زمانی که جذب همراه با واکنش شیمیایی باشد، تغییر وزن نمی‌تواند نشان دهنده ظرفیت جذب باشد [۲۱].

محققین زیادی با بررسی بسترها جذب، مکانیسم‌های جذب سطحی را بر اساس دو مدل کلی جذب سینتیکی و جذب تعادلی بر روی سطح جاذب، گزارش کرده‌اند. مدل‌های سینتیکی استفاده شده برای بیان مکانیسم جذب به دو گروه زیر تقسیم می‌شوند:

الف) مدل‌هایی که فرض می‌کنند مرحله کنترل کننده، انتقال جرم است (نفوذ سطحی همگن، نفوذ حفره و مدل‌های نفوذ غیرهمگن).

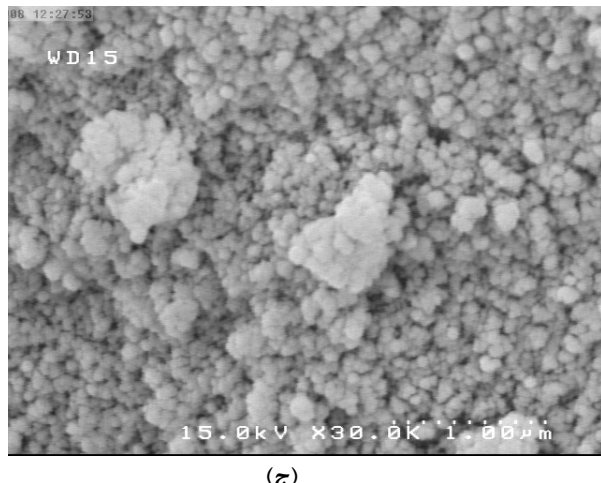
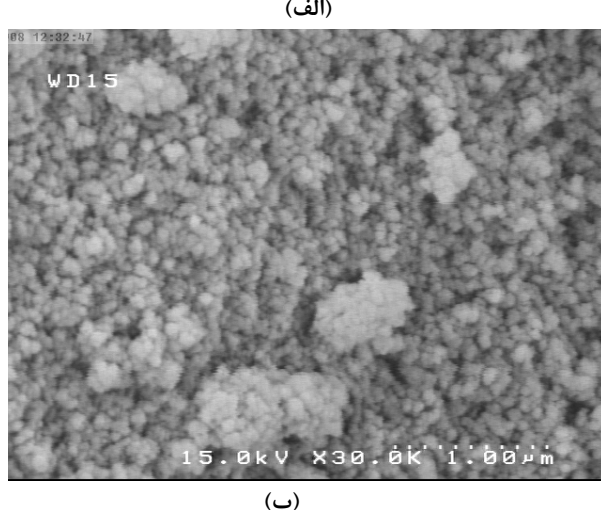
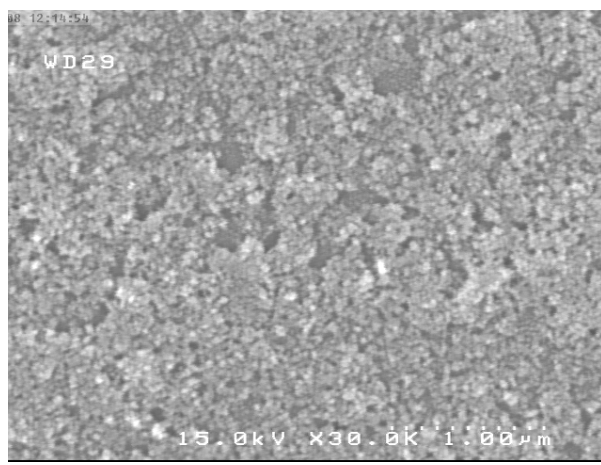
ب) مدل‌هایی که فرض می‌کنند جذب به وسیله پدیده‌های سطحی کنترل می‌شود.

مدل سینتیکی نیروی محرکه خطی (LDF)^۲ در سال ۱۹۹۵، توسط Gkuekauf معرفی شده است. بر طبق این مدل، سرعت واکنش توسط اختلاف غلظت‌های تعادلی و غیرتعادلی جذب شونده فاز گاز، کنترل می‌شود [۲۰].

در میان آلاینده‌های مختلف، ترکیبات آلی فرار (VOCs)^۱ به دلیل سممی و سلطان‌زا بودن مورد توجه هستند. فرآیندهای جداسازی زیادی، مانند اکسیداسیون حرارتی [۱، ۲، ۳]، اکسیداسیون کاتالیزوری [۴، ۵، ۶]، بیوفیلتراسیون [۷]، میغان- سازی [۸]، فرآیندهای بازیابی بر پایه غشا [۹] و جذب سطحی [۱۰]، برای پیشگیری از انتشار این مواد بکار برده می‌شوند. اما فرآیندی که عمدتاً مورد استفاده قرار می‌گیرد، جذب سطحی با جاذب‌های دارای مساحت سطح ویژه بالا و امکان استفاده در سیکل‌های متوالی می‌باشد [۱۱، ۱۲]. اندازه حفره، سطح ویژه و شیمی سطح حفره، فاکتورهای عمدۀ در فرآیند جذب سطحی می‌باشند. سیلیکا اثرورژل‌ها، نانو ساختار و متخلخل بوده، سطح ویژه بالایی دارند و اندازه حفره‌هایشان، بین ۵۰-۲۰ نانومتر می‌باشد. به دلیل داشتن ویژگی‌های منحصر بفرد ذکر شده، جاذب‌های سیلیکا اثرورژل به آسانی قابل بازیافت بوده و ظرفیت جذب زیادی را نسبت به جاذب‌های متداول دارند. از طرفی با توجه به این‌که، بخار آب در بسیاری از جریان‌های گازی صنعتی و محیط‌های سر پوشیده وجود داشته و به صورت رقابتی جذب جاذب شده و حتی می‌تواند ظرفیت جذب را تغییر دهد، لذا سیلیکا اثرورژل‌های آبگریز جاذب فوق العاده بخارات BTEX در حضور بخار آب، در مقایسه با جاذب‌های دیگر، مخصوصاً کربن فعال و سیلیکا ذل بوده و گزینه خوبی برای فرآیند جذب سطحی می- باشند [۱۲، ۱۳، ۱۴، ۱۵، ۱۶، ۱۷]. به طوری که در سال ۲۰۱۱ Baojuan Dou و همکارانش، با بررسی جذب و دفع بنزن، در حالت ناپیوسته و پیوسته، بر روی سیلیکا اثرورژل و کامپوزیت سیلیکا اثرورژل- کربن فعال، نشان دادند که این جاذب‌ها، ظرفیت جذب بالایی دارند [۱۷]. این در حالی است که در سال ۲۰۰۸ Gork و همکاران، ظرفیت جذب بالای سیلیکا اثرورژل آبدوست و آبگریز را برای دو ترکیب فوق العاده فرار-۱- منتول و ۲- متوكسی پیرازین، گزارش کرده بودند [۱۸]. ایزوترم جذب، ارتباط بین میزان ماده جذب شده در واحد جرم جاذب در دمای ثابت و غلظت آن در محلول تعادلی بوده و عموماً به وسیله برهم‌کننده‌ای جاذب- جذب شونده، تعریف می‌شود و دانستن آن برای کارهای تجربی ضروری است. عموماً ایزوترم‌ها نشان دهنده‌ی ظرفیت‌های جاذب در غلظت‌های مختلف گاز می‌باشند [۱۰، ۱۹].

² Linear Driving Force

¹ Volatile Organic Compounds



شکل (۱) تصاویر SEM نمونه (الف) سیلیکا اثروزل،
(ب) کامپوزیت 5 wt. \% کربن-سیلیکا اثروزل و
(ج) کامپوزیت 2 wt. \% کربن-سیلیکا اثروزل

دارای ذرات کروی بوده و اندازه این ذرات در کامپوزیتها بزرگ‌تر از نمونه‌ی خالص می‌باشند. سیلیکا اثروزل، سطحی همگن و یکنواخت از ذرات را نشان می‌دهد و در تصاویر مربوط به کامپوزیتها، ذرات کربن قابل مشاهده می‌باشند.

جدول (۱) مشخصات جاذب‌های استفاده شده

جاذب	سطح ویژه (m^2/g)	قطر متوسط حفره‌ها (nm)	حجم کل حفره‌ها (cm^3/g)
سیلیکا اثروزل	۴۲۷	۱۹/۷۲	۲/۱۱
سیلیکا اثروزل حاوی 5 wt. \% کربن فعال	۳۶۰	۳۲/۳۸	۲/۹۱
سیلیکا اثروزل حاوی 2 wt. \% کربن فعال	۳۵۸	۲۹/۵۲	۲/۶۴

در این تحقیق با استفاده از روش وزن سنجی، تغییر وزن جاذب با گذشت زمان ثبت شد. سپس داده‌های آزمایشگاهی بدست آمده، با استفاده از مدل نیروی محرکه خطی مدل‌سازی شده و پارامتر جذب محاسبه شد.

۳- مواد و روش تحقیق

برای بدست آوردن منحنی و پارامتر جذب، از بنزن و اتیلبنزن (ساخت شرکت Merck) و جاذب سیلیکا اثروزل آبگریز و کامپوزیتها آن استفاده شده است. مشخصات جاذب‌ها در جدول ۱ آورده شده است. شکل ۱ تصاویر SEM نمونه‌های جاذب استفاده شده در این پژوهش را نشان می‌دهد. تجهیزات استفاده شده، ظرف مخصوص غیر قابل نفوذ برای هوا، ترازوی با دقت 10^{-5} grom (METTLER, AE 240)، آون (FANAZMAGOSTAR) و اسپیاتر جهت برداشتن جاذب، می‌باشند.

قبل از تعیین منحنی جذب، همه جاذب‌ها به مدت ۴ ساعت در دمای 120°C گاز زدایی شدند. حدود ۵ میلی لیتر از آلاینده مایع به داخل ظرف غیر قابل نفوذ توسط هوا، ریخته شد و جاذب‌ها طوری در این ظرف قرار داده شدند که تنها در معرض بخارات آلاینده بودند. تغییر وزن جاذب در زمان‌های مشخص، تا رسیدن به اشباع تعادلی با استفاده از روش وزن‌سنجی ثبت شد و داده‌های آزمایشگاهی بدست آمده، به وسیله مدل نیروی محرکه خطی مدل‌سازی شده و پارامتر جذب محاسبه شد. همه آزمایشات در دمای 25°C برای ۳ نوع جاذب انجام شدند.

۴- تحلیل نتایج

۴-۱- آنالیز SEM

تصاویر SEM (شکل ۱) ساختاری نانومتری و متخلخل را برای هر سه نمونه نشان می‌دهند. نمونه‌ی خالص و کامپوزیتها

وسیله روش وزن سنجی انجام شده، بنابراین متفاوت بودن مکانیسم جذب، تفاوتی در نحوه اندازه‌گیری ظرفیت اشباع تعادلی سیلیکا اثروژل ایجاد نمی‌کند.

۳-۴- سینتیک جذب

سینتیک جذب و دفع اهمیت اساسی در کاربردهای واقعی دارد. سینتیک جذب تحت تأثیر عوامل مختلفی مانند غلظت ماده جذب شونده، مقدار، اندازه و سطح ویژه جاذب و درجه حرارت محیط قرار می‌گیرد. مطالعات نشان داده است که مدل نیروی محرکه خطی (LDF)، در اکثر نمونه‌های سینتیک جذب بخار/ گازهای متفاوت بر روی کربن فعال، مواد دارای چارچوب فلزی آلی، کربن مولکولی و مواد مزوحفره سیلیکائی پیروی می‌شود [۱۷]. به همین دلیل در این پژوهش از این مدل برای بررسی سینتیک جذب استفاده شده است.

مدل نیروی محرکه خطی برای جذب، توسط معادله زیر بیان می‌شود:

(۱)

در این معادله M_e جرم جذب شونده (g) در زمان t ، M_e ظرفیت اشباع تعادلی (g) و k ثابت سرعت جذب می‌باشد [۱۷].

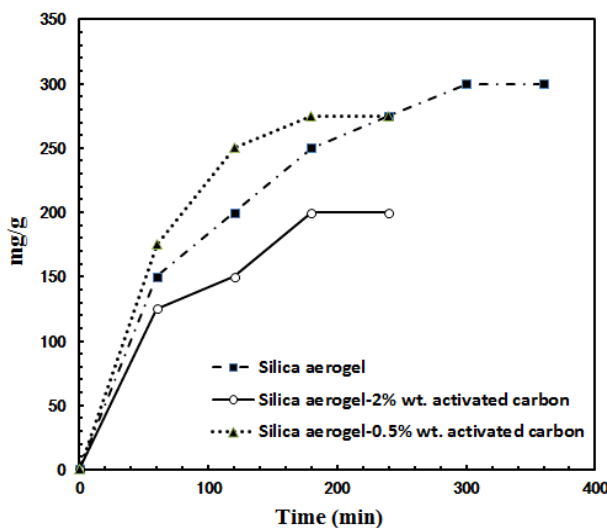
شکل‌های ۴ و ۵ به ترتیب، نشان دهنده نمودار $\frac{M_t}{M_e}$ حسب زمان و برازش‌های متناظر برای مدل LDF در جذب بنزن و اتیل بنزن بر روی (الف) سیلیکا اثروژل، (ب) کامپوزیت ۰.۲٪ کربن- سیلیکا اثروژل و (ج) کامپوزیت ۰.۵٪ کربن- سیلیکا اثروژل می‌باشند.

در حالت کلی، انتقال جذب شونده در ۴ مرحله متوالی صورت می‌گیرد: (i) انتقال جذب شونده از توده محلول به لایه مرزی اطراف ذرات جاذب (ii) انتقال حل شونده در امتداد لایه مرزی (iii) نفوذ درون ذره‌ای حل شونده به داخل حفره‌ها (iv) جذب و دفع جذب شونده. کل فرآیند توسط یکی از این مراحل یا ترکیبی از آن‌ها کنترل می‌شود [۲۰] و چون سینتیک جذب برای ۳ جاذب، تقریباً از مدل LDF پیروی می‌کند (شکل‌های ۵ و ۴). بنابراین می‌توان گفت که در جذب بنزن و اتیل بنزن بر روی این جاذب‌ها نفوذ از میان مانع مرحله تعیین کننده سرعت جذب می‌باشد. مانع ایجاد شده نتیجه‌ی انقباض تخلخل با اندازه‌های مشابه با مولکول‌های بنزن و اتیل-بنزن یا مانع نفوذ سطحی می‌باشد [۱۷]. مدل نیروی محرکه خطی بکار رفته برای مدل‌سازی داده‌های تجربی واکنش

۲-۴- جذب ناپیوسته

شکل ۲ نشان دهنده ایزوترم جذب بنزن بر روی (الف) سیلیکا اثروژل، (ب) کامپوزیت ۰.۵٪ کربن- سیلیکا اثروژل و (ج) کامپوزیت ۰.۲٪ کربن- سیلیکا اثروژل می‌باشد. با توجه به این شکل، مشاهده می‌شود که ظرفیت جذب تعادلی بنزن بر روی این جاذب‌ها به ترتیب زیر تغییر می‌کند: سیلیکا اثروژل < کامپوزیت ۰.۲٪ کربن- سیلیکا اثروژل < کامپوزیت ۰.۵٪ کربن- سیلیکا اثروژل با توجه به این که ظرفیت جذب تعادلی مناسب با سطح قابل دسترس برای جذب و معکوس اندازه حفره‌های جاذب (در فشارهای پایین) [۱۷]، می‌باشد و از آنجایی که سیلیکا اثروژل دارای بیشترین سطح ویژه در میان سایر جاذب‌ها می‌باشد، بنابراین بدیهی است که بیشترین ظرفیت جذب تعادلی را نیز داشته باشد. چون کامپوزیت ۰.۲٪ کربن- سیلیکا اثروژل اندازه متوسط حفره‌های کمتری را نسبت به کامپوزیت ۰.۵٪ کربن- سیلیکا اثروژل دارد، بنابراین ظرفیت جذب تعادلی کامپوزیت ۰.۲٪ کربن فعال- سیلیکا اثروژل بیشتر از کامپوزیت ۰.۵٪ کربن فعال- سیلیکا اثروژل می‌باشد. رفتار جذب استاتیکی اتیل بنزن بر روی (الف) سیلیکا اثروژل، (ب) کامپوزیت ۰.۵٪ کربن- سیلیکا اثروژل و (ج) کامپوزیت ۰.۲٪ کربن- سیلیکا اثروژل در شکل ۳ آمده است. با توجه به این شکل پیداست که ظرفیت جذب استاتیکی اتیل بنزن به ترتیب زیر تغییر می‌کند:

سیلیکا اثروژل < کامپوزیت ۰.۵٪ کربن- سیلیکا اثروژل < کامپوزیت ۰.۲٪ کربن- سیلیکا اثروژل این نتیجه را می‌توان بر این اساس توضیح داد که، ظرفیت جذب استاتیکی ترکیبات آلی فرار مناسب سطح ویژه و حجم کلی حفره جاذب [۱۷] می‌باشد و چون سطح ویژه سیلیکا اثروژل بیشتر از کامپوزیت‌های آن است، لذا ظرفیت جذب تعادلی آن نیز بیشتر است. کامپوزیت ۰.۵٪ کربن- سیلیکا اثروژل، حجم حفره بیشتری را نسبت به کامپوزیت ۰.۲٪ کربن- سیلیکا اثروژل دارد، بنابراین ظرفیت جذب استاتیکی کامپوزیت ۰.۵٪ کربن- سیلیکا اثروژل بیشتر از کامپوزیت ۰.۲٪ کربن- سیلیکا اثروژل می‌باشد. در شکل ۲ روند جذب استاتیکی بنزن بر روی سیلیکا اثروژل متفاوت از جذب استاتیکی بنزن بر روی کامپوزیت کربن فعال- سیلیکا اثروژل است. این تفاوت نشان دهنده احتمال چند لایه‌ای بودن فرآیند جذب سطحی بر روی سیلیکا اثروژل می‌باشد. از آنجایی که تعیین وزن جاذب در زمان‌های مشخص به

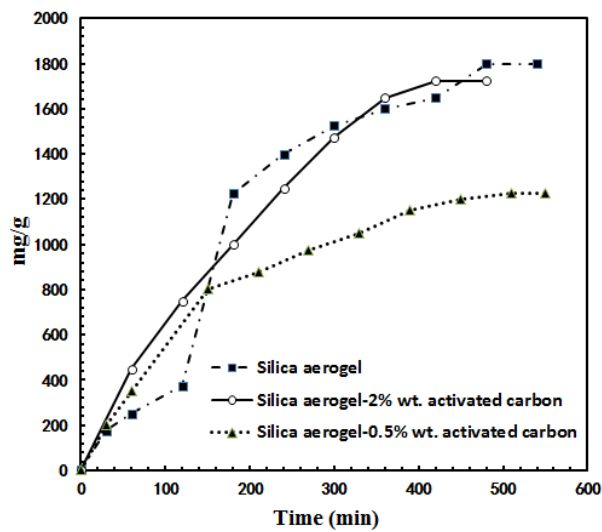


شکل (۳) رفتار جذب استاتیک اتیلبنزن بر روی (الف) سیلیکا اثروژل،
 (ب) کامپوزیت .۰/۵٪ کربن- سیلیکا اثروژل و
 (ج) کامپوزیت .۲٪ کربن- سیلیکا اثروژل

این انحرافات با نشانه‌های لوزی و مربع در شکل‌های ۶ و ۷ نشان داده شده‌اند. در شکل ۶ (الف) انحراف داده‌های جذب بنزن بر روی سیلیکا اثروژل در ابتدای فرآیند جذب، بیشتر از داده‌های مدل است. احتمالاً این انحراف به دلیل جذب سطحی چند لایه‌ای بنزن بر روی سیلیکا اثروژل است. در مجموع مقادیر این خطاهای قابل قبول بوده و فرآیند جذب سطحی بنزن و اتیلبنزن بر روی سیلیکا اثروژل و کامپوزیت‌های آن با کربن فعال، از مدل نیروی محركه خطی پیروی می‌کند.

۴-۵- ثابت سرعت جذب

برای بدست آوردن ثابت سرعت جذب، داده‌های آزمایشگاهی با استفاده از معادله ۱ خطی‌سازی شدند. با توجه به داده‌های جدول ۲ مشاهده می‌شود که ثابت سرعت جذب اتیلبنزن بر روی سیلیکا اثروژل و کامپوزیت‌های آن بیشتر از بنزن است. بنابراین نتیجه می‌شود که سرعت جذب اتیلبنزن بر روی سیلیکا اثروژل و کامپوزیت‌های آن بیشتر از سرعت جذب بنزن است، اگرچه ظرفیت اشباع تعادلی اتیلبنزن کمتر از بنزن می‌باشد. بیشتر بودن سرعت جذب اتیلبنزن نسبت به بنزن می‌تواند مربوط به سنگین بودن مولکول اتیلبنزن در مقایسه با بنزن باشد. همچنین برهم‌کنش اتیلبنزن و شاخه اتیل موجود در ساختار آن با سیلیکا اثروژل، کامپوزیت‌های کربن فعال-سیلیکا اثروژل و گروه‌های عاملی موجود در ساختار آن‌ها می‌تواند منجر به افزایش سرعت جذب اتیلبنزن نسبت به بنزن شود.

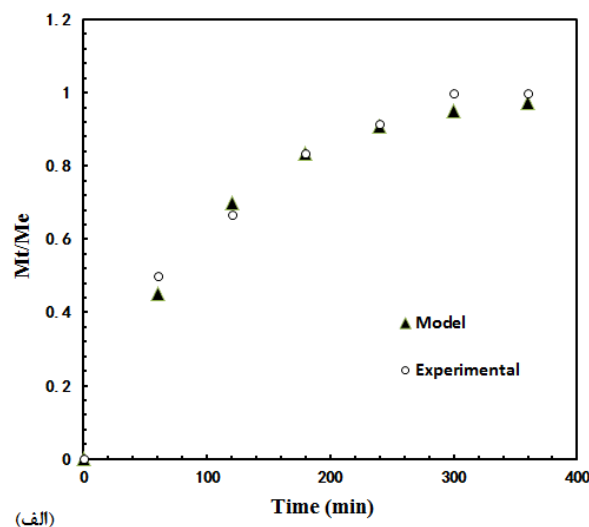


شکل (۳) رفتار جذب استاتیک بنزن بر روی (الف) سیلیکا اثروژل،
 (ب) کامپوزیت .۰/۵٪ کربن- سیلیکا اثروژل و
 (ج) کامپوزیت .۲٪ کربن- سیلیکا اثروژل

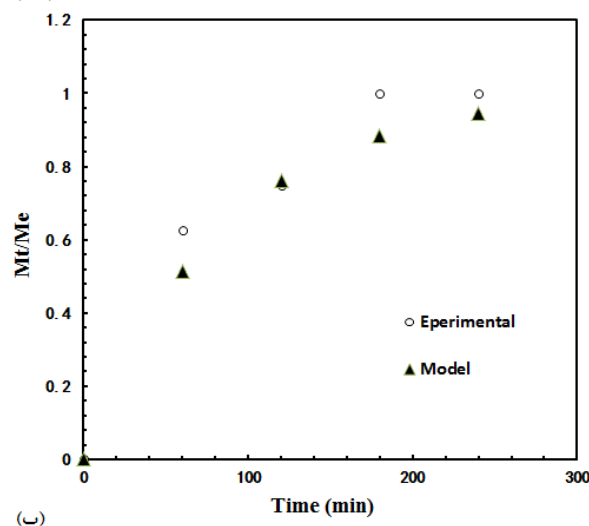
جذب، درجه یک است، بنابراین با صرف نظر از انحراف جزئی داده‌های تجربی از داده‌های مدل، می‌توان گفت که واکنش جذب بنزن و اتیلبنزن بر روی سیلیکا اثروژل و کامپوزیت‌های آن درجه یک هستند. روند تغییرات $\frac{M_t}{M_e}$ بر حسب زمان در جذب بنزن و اتیلبنزن بر روی سیلیکا اثروژل و کامپوزیت کربن فعال-سیلیکا اثروژل نیز، بیانگر درجه یک بودن واکنش است (شکل‌های ۴ و ۵). انحراف داده‌های تجربی از داده‌های مدل در ابتدای جذب بنزن بر روی سیلیکا اثروژل ممکن است به دلیل جذب چند لایه‌ای بنزن بر روی سیلیکا اثروژل در ابتدای جذب باشد.

۴-۶- تحلیل آماری

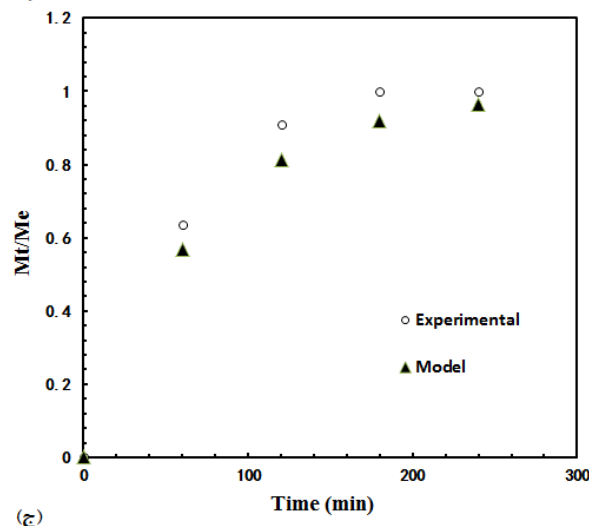
برای تعیین میزان دقیق مدل سینتیکی جذب، از تحلیل آماری استفاده شده است. شکل‌های ۶ و ۷ به ترتیب میزان انحراف داده‌های آزمایشگاهی جذب سطحی بنزن و اتیلبنزن را از داده‌های مدل نیروی محركه خطی نشان می‌دهد. در حالت ایده‌آل داده‌های آزمایشگاهی و داده‌های مدل باید بر خط درجه منطبق باشند. اما با توجه به ساختار جاذب‌ها، خواص جذب شونده‌ها، تغییر احتمالی دمای محیط، تفاوت مکانیسم جذب (تک لایه‌ای و چند لایه‌ای) و خطای دستگاه، میزان متغیری از انحراف (بین ۱۰٪ و +۸٪) بین داده‌های تجربی و مدل نیروی محركه خطی دیده می‌شود (علامت مثبت نشان دهنده بیشتر بودن مقادیر داده‌های تجربی و علامت منفی بیانگر کمتر بودن مقادیر این داده‌ها از داده‌های مدل است).



(الف)

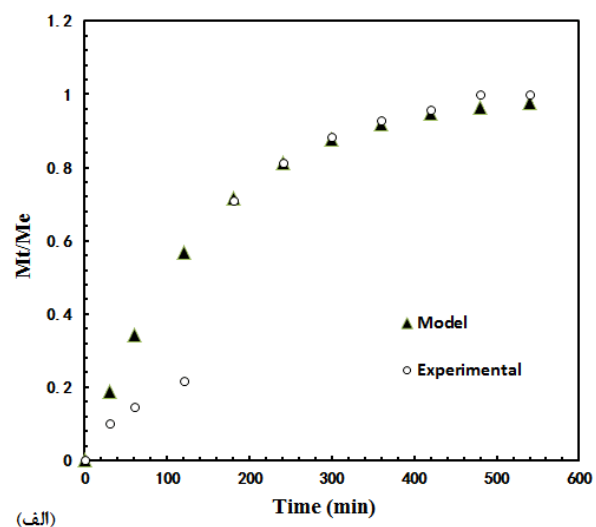


(ب)

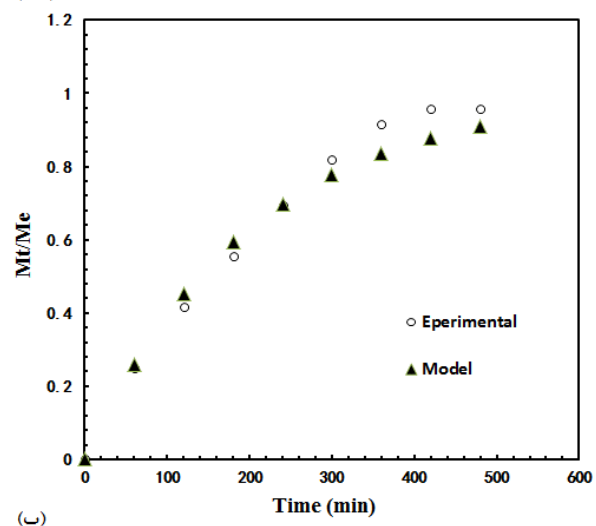


(ج)

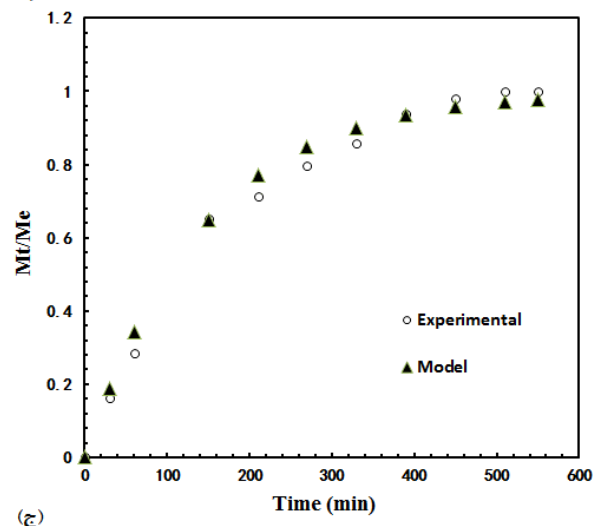
شکل (۵) نمودار سینتیک جذب اتیل بنزن بر روی
(الف) سیلیکا ائروژل، (ب) کامپوزیت ۰.۲ wt.% کربن فعال و
سیلیکا ائروژل و (ج) کامپوزیت ۰.۵ wt.% کربن فعال-سیلیکا ائروژل



(الف)



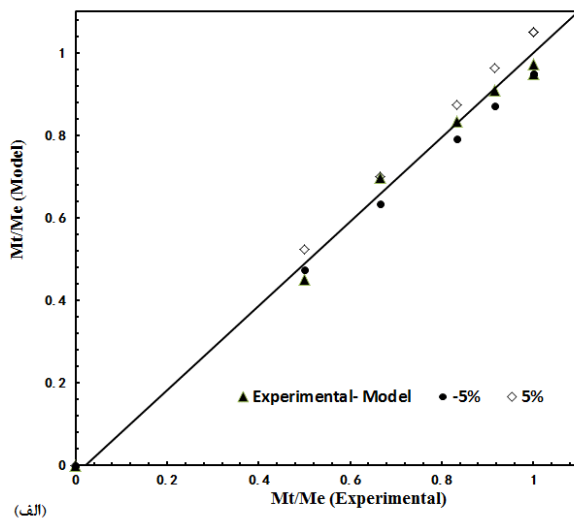
(ب)



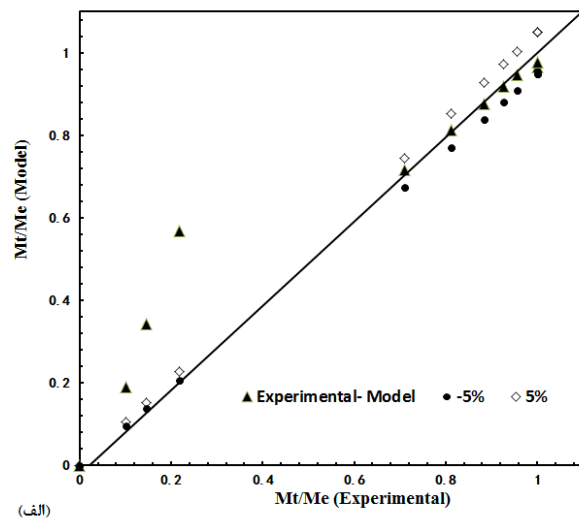
(ج)

شکل (۶) نمودار سینتیک جذب بنزن بر روی (الف) سیلیکا ائروژل،
(ب) کامپوزیت ۰.۲ wt.% کربن فعال-سیلیکا ائروژل و
(ج) کامپوزیت ۰.۵ wt.% کربن فعال-سیلیکا ائروژل

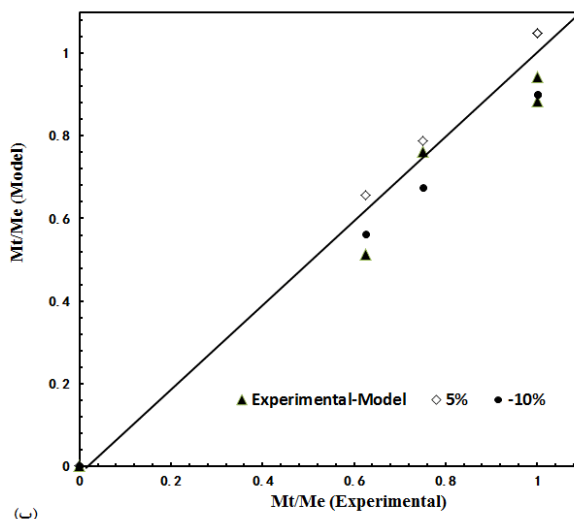
بررسی جذب بنزن و اتیلبنزن بر روی سیلیکا اثرورژل و کامپوزیت کربن-سیلیکا اثرورژل



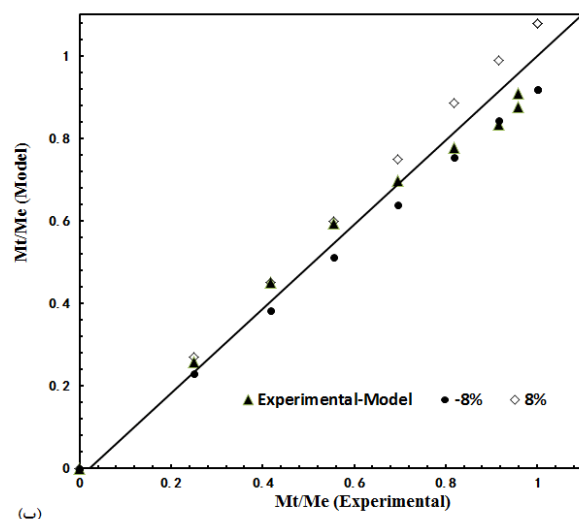
(الف)



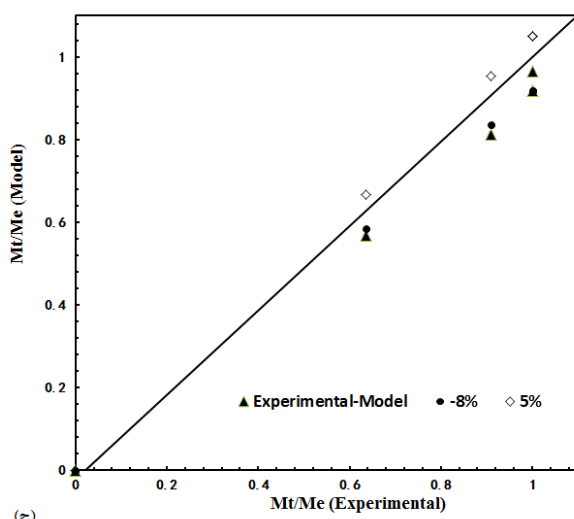
(الف)



(ب)

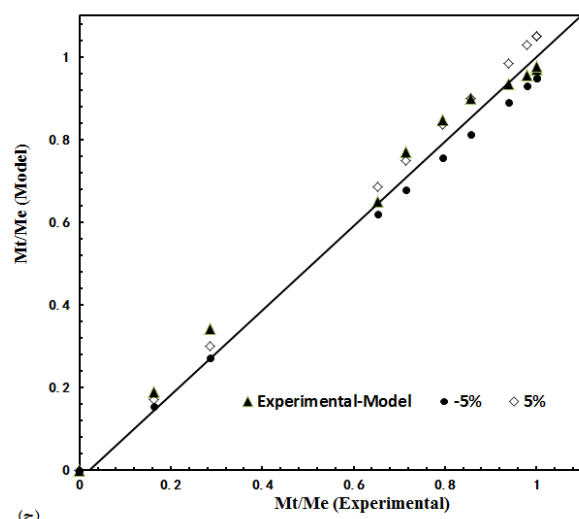


(ب)



(ج)

شکل (۷) تحلیل آماری داده‌های آزمایشگاهی حاصل از جذب اتیلبنزن بر روی (الف) سیلیکا اثرورژل، (ب) کامپوزیت ۲٪ کربن فعال-سیلیکا اثرورژل و (ج) کامپوزیت ۵٪ کربن فعال-سیلیکا اثرورژل



(ج)

شکل (۶) تحلیل آماری داده‌های آزمایشگاهی حاصل از جذب بنزن بر روی (الف) سیلیکا اثرورژل، (ب) کامپوزیت ۲٪ کربن فعال-سیلیکا اثرورژل و (ج) کامپوزیت ۵٪ کربن فعال و سیلیکا اثرورژل

[7] S. P. Ottenger, and A. H. Van Den Oever (1983) "Kinetics of organic compound removal from waste gases with a biological filter", *Biotechnology and Bioengineering*, 25, 12, 3089-3102.

[8] P. Anita, and K. Wilfried (2006) "Exposure to Toluene in the printing industry is associated with subfecundity in women but not in men", *Occupational and Environmental Medicine*, 6, 443-448.

[9] S. I. Semenova (2004) "Polymer membranes for hydrocarbon separation and removal", *Journal of Membrane Science*, 231, 189-207.

[10] B. Crittenden, and W. J. Thomas (1998) *Adsorption Technology and Design*, First published, Linacre House, Jordan Hill, Oxford Ox2 8DP.

[11] J. C. Abril, M. A. L. denas, A. L. Solano, and D. C. Amoro's (2010) "Regeneration of activated carbons saturated with benzene or toluene using an oxygen-containing atmosphere", *Chemical Engineering Science*, 65, 2190-2198.

[12] S. Standeker, Z. Novak, and Z. Knez (2009) "Removal of BTEX vapours from waste gas streams using silica aerogels of different hydrophobicity", *Journal of Hazardous Materials*, 165, 1114-118.

[13] V. K. K. Upadhyayula, S. Deng, M. C. Mitchell, and G. B. Smith (2009) "Application of carbon nanotube technology for removal of contaminants in drinking water: A review", *Science of the total Environment*, 408, 1-13.

[14] M. Alnaief, and I. Smirnova (2010) "Effect of surface functionalization of silica aerogel on their adsorptive and release properties", *Journal of Non-Crystalline Solids*, 365, 1644-1649.

[15] S. Štandeker, Z. Novak, and Ž. Knez (2007) "Adsorption of toxic organic compounds from water with hydrophobic silica aerogels", *Journal of Colloid and Interface Science*, 310-362-368.

[16] U. K. H. Bangi, A. V. Rao, and A. P. Rao (2008) "A new route for preparation of sodium-silicate-basehydrophobic silica aerogels via ambient-pressure drying", *Science and technology of advanced materials*, 9, 0350036, 10 pp.

[17] B. Dou, J. Li, Y. Wang, H. Wang, C. Ma, and Z. Hao (2011) "adsorption and desorption performance of benzene over hierarchically structured carbon–silica aerogel composites", *Journal of Hazardous Materials*, 196, 194-200.

[18] B. S. K. Gorle, I. Smirnova, and M. A. McHugh (2009) "Adsorption and thermal release of highly volatile compounds in silica aerogels", *Journal of Supercritical Fluids*, 48, 85-92.

[19] M. H. Givianrad, M. Rabani, M. Saber-Tehrani, P. Aberoomand-Azar, and M. H. Sabzevari (2013) "Preparation and characterization of nanocomposite, silica aerogel, activated carbon and its adsorption Properties for Cd (II) ions from aqueous solution", *Journal of Saudi Chemical Society*, 17, 329-335.

[20] M. L. Soto, A. Moure, H. Domínguez, and J. C. Parajó (2011) "Recovery, concentration and purification of phenolic compounds by adsorption: A review", *Journal of food Engineering*, 105, 1-27.

[21] J. Peia, and J. S. Zhang (2012) "Determination of adsorption isotherm and diffusion coefficient of toluene on activated carbon at low concentrations", *Building and Environment*, 48, 66-76.

جدول (۲) ثابت سرعت جذب در مدل LDF

K($\frac{1}{\text{min}}$)		جذب شونده	جاذب
اتیلبنزن	بنزن		
۰/۰ ۱	۰/۰۰ ۷	سیلیکا اثروژل	
۰/۰ ۱۲	۰/۰۰ ۵	کامپوزیت wt.٪ کربن فعال و سیلیکا اثروژل	
۰/۰ ۱۴	۰/۰۰ ۷	کامپوزیت wt.٪ کربن فعال و سیلیکا اثروژل	

۵-نتیجه‌گیری

در این تحقیق، پس از بدست آوردن منحنی رفتار جذب بنزن و اتیلبنزن بر روی سیلیکا اثروژل و کامپوزیت‌های آن با کربن فعال، داده‌های آزمایشگاهی بدست آمده با مدل LDF برآورده شد. در جذب استاتیکی بنزن، سیلیکا اثروژل دارای بیشترین ظرفیت جذب ($1800 \frac{\text{mg}}{\text{g}}$) و کامپوزیت $1225 \frac{\text{mg}}{\text{g}}$ می‌باشد. همچنین در جذب اتیلبنزن، بیشترین ظرفیت جذب مربوط به سیلیکا اثروژل ($300 \frac{\text{mg}}{\text{g}}$) و کمترین آن مربوط به کامپوزیت $200 \frac{\text{mg}}{\text{g}}$ می‌باشد. مدل سازی جذب استاتیکی بنزن و اتیل-بنزن با استفاده از مدل LDF و تحلیل آماری این مدل سازی، نشان داد که داده‌های آزمایشگاهی تطابق خوبی با این مدل دارند. با استفاده از این مدل، پارامتر سرعت جذب (K) اتیل-بنزن بیشتر از بنزن بوده و سرعت جذب اتیلبنزن بر روی سیلیکا اثروژل و کامپوزیت‌های آن بیشتر از بنزن می‌باشد.

مراجع

- J. C. William, and P. E. Lead (1997) *VOC Control strategies in plant design*, Waver Land Publisher, New York, 3nd ed..
- Centre for Waste Reduction Technologies (1992) *Current and potential future industrial practices for reducing and controlling volatile organic compounds* New York, AIChE.
- J. R. Marks, and T. Rhoads (1996) "Planning saves time and money, when installing VOC controls", *Chemical Processing*, 5, 42, Report EPA, 542-F-96-008, 1996.9.
- E. N. Ruddy, and L. A. Carroll (1993) "Select the best VOC control strategy", *Chemical engineering Progress*, 89, 7, 28-35.
- A. N. Patkar, and J. Laznow (1992) "Hazardous air pollutant control technologies", *Hazmat. World.*, 78, 231-237.
- F. C. Mari'n, D. F. Jiménez, and C. M. Castilla (2009) "Carbon aerogels from gallic acid-resorcinol mixtures as adsorbents of benzene, toluene and xylenes from dry and wet air under dynamic conditions", *Carbon*, 47, 463-469.

An investigation of adsorption of benzene and ethyl benzene over silica aerogel and carbon-silica aerogel composites

Akbar Mohammadi¹, Jafarsadegh Moghaddas^{1,*}

1. Transport Phenomena Research Center, Chemical Engineering Faculty, Sahand University of Technology, Tabriz, Iran

ABSTRACT

Silica aerogels have high specific surface area and manageable nano scale dimensions, showing high rate and capacity for pollutants adsorption. In this study, static adsorption kinetic of benzene and ethyl benzene over silica aerogel and activated carbon-silica aerogel composites were investigated using gravimetric methods and results were fitted using linear driving force (LDF) model. Results, showed the highest adsorption capacity of $1800\frac{\text{mg}}{\text{g}}$ for benzene and $(300\frac{\text{mg}}{\text{g}})$ for ethyl benzene. Also, composite of -0.5% wt Silica aerogel and activated carbon and -2% wt silica aerogel and activated carbon showed the least adsorption capacity of benzene and ethyl benzene ($1225\frac{\text{mg}}{\text{g}}$ and $200\frac{\text{mg}}{\text{g}}$ respectively). The statistical analysis of results showed a good agreement between the adsorption curves and linear driving force model.

ARTICLE INFO

Article history:

Received: July 17, 2013

Revised: November 18, 2013

Accepted: November 09, 2014

Key words:

Silica aerogel

Equilibrium adsorption capacity

Adsorption kinetic

Linear driving force model

All right reserved.

* Corresponding author
jafar.moghaddas@sut.ac.ir